

Annulation Adaptatives d'Interférences pour le système d'accès multiples à spectre étalé avec Antennes Multiples

Ammar CHKEIF, Karim ABED-MERAÏM, Ghassan KAWAS KALEH

ENST/TSI
46 rue Barrault 75634, Paris Cedex 13 France
chkeif@tsi.enst.fr, abed@tsi.enst.fr
kaleh@tsi.enst.fr

Résumé – La contribution principale de cet article est la combinaison d'un détecteur adaptatif EQMM basé sur l'estimation sous-espace avec un annulateur d'interférence. Les détecteurs proposés emploient la diversité spatiale des antennes pour réduire la corrélation entre les signaux des utilisateurs et améliorer ainsi l'estimation de l'interférence. Dans cet article, nous utilisons l'algorithme OPAST (*orthogonal projection approximation subspace tracking*) pour estimer d'une manière adaptative les détecteurs proposés et les signatures spatiales. Les taux d'erreurs obtenus sont nettement améliorés par rapport à ceux donnés par un détecteur adaptatif linéaire minimisant l'erreur quadratique moyenne (EQM).

Abstract – In this paper we combine the adaptive minimum-mean-square error (MMSE) detector, which employs antenna array, with interference canceller. The proposed detectors are based on the signal subspace estimation. Moreover, we use the orthogonal projection approximation subspace tracking (OPAST) to adaptively estimate the proposed detectors and the spatial signatures. Compared with the MMSE detector, the proposed detectors offer a superior performance in term of the BER.

1 Introduction

Le système d'accès multiples à spectre étalé (AMSE) est limité par le nombre d'utilisateurs qui peuvent communiquer simultanément sur le canal. Cette limitation est due à la domination de l'interférence entre utilisateurs (IEU) sur le bruit additif. Beaucoup de recherches récentes ont été orientées vers le développement de détecteurs à faible complexité qui sont pertinents contre l'IEU [1, 2, 3]. Une classe de récepteurs efficaces est celle des annulateurs d'interférence (AI). Il existe deux variantes des AI, à savoir, l'AI séquentiel (AIS) [1] et l'AI parallèle (AIP) [2].

Dans [3, 4] des détecteurs adaptatifs aveugles qui nécessitent seulement la connaissance de la signature de l'utilisateur désiré ont été proposés. Les antennes multiples et le traitement adaptatif sont un moyen prometteur pour améliorer la performance du système AMSE [3]. Dans cet article, notre tâche principale est de combiner le détecteur EQMM adaptatif [4] avec l'AIS ou avec l'AIP. Les détecteurs proposés emploient la diversité spatiale des antennes pour réduire la corrélation entre les utilisateurs. **Notation:** Dans cet article nous utilisons \dagger , $*$, T , et \otimes pour dénoter conjugué transpose, conjugué, transpose, et le produit de Kronecker, respectivement. \mathbf{I}_P est une matrice d'identité de dimensions $P \times P$. $\Re(x)$ dénote la partie réelle de x .

2 Modèle du Canal

On considère un canal d'AMSE partagé simultanément par K utilisateurs. Chaque bit du $k^{i\text{ème}}$ utilisateur est étalé par une séquence $s_k(t)$ de durée T_b , où T_b est le temps

du symbole. Nous supposons que l'énergie de $s_k(t)$ est normalisée à 1. Le récepteur utilise un réseau d'antennes omni-directionnelle de P éléments. Pour un modèle bande-étroite le signal reçu par le $p^{i\text{ème}}$ capteur s'écrit sous la forme:

$$\mathbf{r}^p(i) = \sum_{k=1}^K \mathcal{E}_k b_k(i) \mathbf{s}_k g_k^p + \mathbf{n}^p(i), \quad (1)$$

où \mathcal{E}_k est l'amplitude du $k^{i\text{ème}}$ utilisateur, $\{b_k(i) \in \{\pm 1\}; i = 0, 1, \dots, I\}$ dénote la suite de symboles, g_k^p dénote la réponse du $p^{i\text{ème}}$ capteur au signal de l'utilisateur k , et

$$\mathbf{s}_k = \frac{1}{\sqrt{N}} [c_k(0), \dots, c_k(N-1)]^T, \quad (2)$$

où $\{c_k(n), 0 \leq n < N\}$ sont les chips qui prennent valeur dans $\{\pm 1\}$. En utilisant (1), la sortie du réseau d'antennes peut s'écrire sous la forme:

$$\mathbf{r}(i) = [\mathbf{r}^{1T}(i) \dots \mathbf{r}^{PT}(i)]^T = \sum_{k=1}^K \mathcal{E}_k b_k(i) \tilde{\mathbf{s}}_k + \mathbf{n}(i), \quad (3)$$

où $\tilde{\mathbf{s}}_k = \mathbf{g}_k \otimes \mathbf{s}_k$ et $\mathbf{g}_k = [g_k^1, \dots, g_k^P]^T$ présente la réponse des antennes à l'utilisateur k (signature spatiale). Dans (3) le vecteur $\mathbf{n}(i) = [\mathbf{n}^{1T}(i), \dots, \mathbf{n}^{PT}(i)]^T$ est un bruit blanc (spatialement et temporellement), indépendant des signaux transmis, gaussien, centré et de variance $E[\mathbf{n}(i)\mathbf{n}^\dagger(j)] = \sigma^2 \mathbf{I}_{PN} \delta(i-j)$. Sans perte de généralité, nous supposons que les signatures spatiales sont normalisées, c-à-d, $\mathbf{g}_k^\dagger \mathbf{g}_k = 1$, et que les signatures temporelles des K utilisateurs sont linéairement indépendants, c-à-d, $\text{rang}(\mathbf{S} \triangleq [\mathbf{s}_1 \mathbf{s}_2 \dots \mathbf{s}_K]) = K$.

TAB. 1: Estimation et poursuite de sous-espaces.

$\mathbf{W}(i+1)$	$= \mathbf{W}(i) + \mathbf{p}'(i+1)\mathbf{q}^\dagger(i+1)$
$\mathbf{q}(i+1)$	$= \frac{1}{\alpha}\mathbf{Z}(i)\mathbf{y}(i+1)$
$\mathbf{y}(i+1)$	$= \mathbf{W}^\dagger(i)\mathbf{r}(i+1)$
$\gamma(i+1)$	$= \frac{1}{1+\mathbf{y}^\dagger(i+1)\mathbf{q}(i+1)}$
$\mathbf{p}(i+1)$	$= \gamma(i+1)(\mathbf{r}(i+1) - \mathbf{W}(i)\mathbf{y}(i+1))$
$\tau(i+1)$	$= \frac{1}{\ \mathbf{q}(i+1)\ ^2} \left(\frac{1}{\sqrt{1+\ \mathbf{p}(i+1)\ ^2\ \mathbf{q}(i+1)\ ^2}} - 1 \right)$
$\mathbf{p}'(i+1)$	$= \tau(i+1)\mathbf{W}(i)\mathbf{q}(i+1) + (1 + \tau(i+1)\ \mathbf{q}(i+1)\ ^2)\mathbf{p}(i+1)$
$\mathbf{Z}(i+1)$	$= \frac{1}{\alpha}\mathbf{Z}(i) - \gamma(i+1)\mathbf{q}(i+1)\mathbf{q}^\dagger(i+1)$

 TAB. 2: Estimation de \mathbf{g}_k . avec $\mathbf{a} = (\mathbf{I}_P \otimes \mathbf{s}_k^\dagger)\mathbf{p}'(i+1)$, $\mathbf{b} = (\mathbf{I}_P \otimes \mathbf{s}_k^\dagger)\mathbf{W}(i)\mathbf{q}(i+1)$, et $\gamma = \|\mathbf{q}(i+1)\|^2$.

$\tilde{\mathbf{g}}_k(i+1)$	$= \mathbf{Q}_k(i)\mathbf{g}_k(i) + (\mathbf{a}\mathbf{b}^\dagger + (\mathbf{b} + \gamma\mathbf{a})\mathbf{a}^\dagger)\mathbf{g}_k(i)$
$\beta(i+1)$	$= \ \tilde{\mathbf{g}}_k(i+1)\ $
$\mathbf{g}_k(i+1)$	$= \tilde{\mathbf{g}}_k(i+1)/\beta(i+1)$
$\mathbf{Q}_k(i+1)$	$= (\mathbf{I}_P \otimes \mathbf{s}_k^\dagger)\mathbf{W}(i+1)\mathbf{W}(i+1)^\dagger(\mathbf{I}_P \otimes \mathbf{s}_k) = \mathbf{Q}_k(i) + \mathbf{a}\mathbf{b}^\dagger + (\mathbf{b} + \gamma\mathbf{a})\mathbf{a}^\dagger$

la procédure suivante :

$$\begin{aligned}
 \hat{\mathcal{E}}_{K-k}(i) &= \frac{1}{i} \sum_{j=1}^i \beta^{i-j} \Re \left(\hat{b}_{K-k}(j) \hat{\mathbf{s}}_{K-k}^\dagger(j) \mathbf{r}_{K-k}(j) \right) \\
 &= \beta \frac{i-1}{i} \hat{\mathcal{E}}_{K-k}(i-1) \\
 &\quad + \frac{1}{i} \Re \left(\hat{b}_{K-k}(i) \hat{\mathbf{s}}_{K-k}^\dagger(i) \mathbf{r}_{K-k}(i) \right), \quad (15)
 \end{aligned}$$

où β est un facteur d'oubli qui prend ses valeurs dans l'intervall $(0, 1]$. Pour obtenir (15) on minimise l'EQM $E\|\mathbf{r}_{K-k} - \mathcal{E}_{K-k}b_{K-k}\tilde{\mathbf{s}}_{K-k}\|^2$, qui mène à $\hat{\mathcal{E}}_{K-k} = E \left[\Re \left(b_{K-k} \tilde{\mathbf{s}}_{K-k}^\dagger \mathbf{r}_{K-k} \right) \right]$. Ce dernier peut être estimé itérativement selon (15) en remplaçant b_{K-k} et $\tilde{\mathbf{s}}_{K-k}$ par leurs estimations respectives.

Ce schéma est motivé par l'équivalence entre l'EQMM avec retour de décisions basé sur la factorisation de Cholesky de la matrice $\tilde{\mathbf{S}}^\dagger \tilde{\mathbf{S}} + \sigma^2 \mathbf{E}^{-1}$ [6] et le détecteur présenté dans la Figure 2. La $k^{i\text{ème}}$ composante du vecteur \mathbf{y} , dans la Figure 2, est donnée par $y_k = \tilde{\mathbf{s}}_k^\dagger \mathbf{r}$. La preuve de cette équivalence est omise dans cet article à cause du manque de place. En fait, cette équivalence implique que l'EQMM-AIS a les mêmes propriétés que l'EQMM avec retour de décisions basé sur la factorisation de Cholesky.

5 EQMM-AIP

Ce détecteur consiste à soustraire du signal reçu une estimation de toute l'interférence et ensuite à faire une décision sur le signal résultant. Dans ce cas, on traite tous les utilisateurs en parallèle en utilisant une procédure à 2 étapes. Ce schéma est illustré dans la Figure 3 pour $K = 2$. À l'étape 2, nous construisons la nouvelle observation $\mathbf{r}_{k,2}(i)$ en soustrayant une estimation des tous les utilisateurs qui

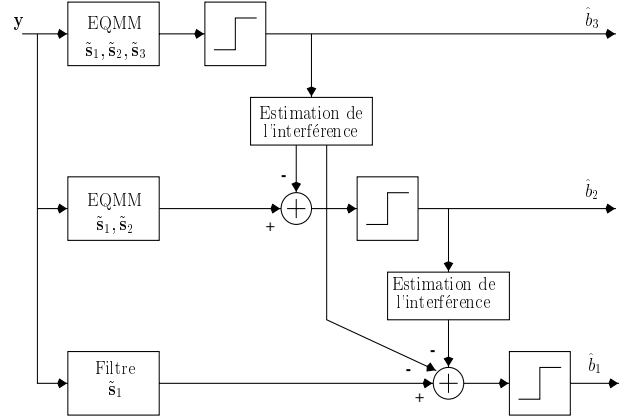


FIG. 2: EQMM avec retour de décisions.

interfèrent avec le $k^{i\text{ème}}$ utilisateur, c-à-d,

$$\mathbf{r}_{k,2}(i) = \mathbf{r}(i) - \sum_{j \neq k} \hat{\mathcal{E}}_j(i) \hat{b}_j(i) \hat{\mathbf{s}}_j(i), \quad (16)$$

où $\hat{\mathcal{E}}_j(i)$ est donné par

$$\hat{\mathcal{E}}_j(i) = \beta \frac{i-1}{i} \hat{\mathcal{E}}_j(i-1) + \frac{1}{i} \Re \left(\hat{b}_j(i) \hat{\mathbf{s}}_j^\dagger(i) \mathbf{r}(i) \right), \quad (17)$$

$\hat{b}_j(i)$ et $\hat{\mathbf{s}}_j(i)$ sont obtenus à la première étape en utilisant (7) et (11), respectivement. Le signal $\mathbf{r}_{k,2}$ est ensuite utilisé pour estimer le sous-espace signal $\mathbf{W}_{k,2}$ de dimension 1 et l'EQMM correspondant $\tilde{\mathbf{m}}_{k,2}$. Il faut noter que pour le modèle de donnée (3), le filtre $\tilde{\mathbf{m}}_{k,2}$ coïncide avec la signature spatio-temporelle $\tilde{\mathbf{s}}_k$. Mais nous avons préféré garder cette formulation pour inclure le cas où il existe des interférences dues à des utilisateurs dont on ne connaît pas les signatures temporelles (e.g., interférence entre utilisateurs de cellules voisines).

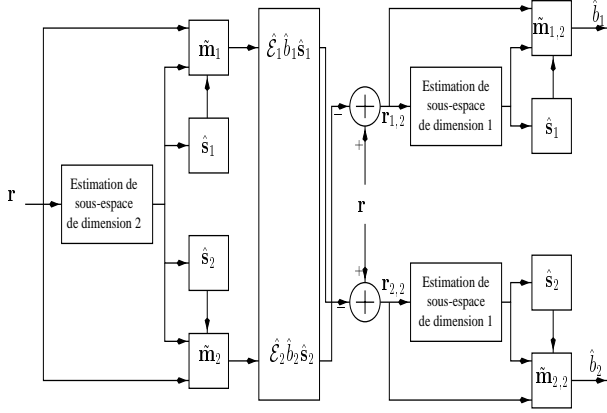


FIG. 3: EQMM-AIP, $K = 2$.

Les deux détecteurs EQMM-SIS et -AIP coûtent $O(NPK^2)$ flops par itération. Mais grâce à sa structure parallèle l'EQMM-AIP peut être réalisé en $O(PNK)$ en utilisant K processeurs en parallèle.

6 Simulations

Dans la suite nous supposons que tous les détecteurs ont une connaissance parfaite des séquences d'étalement et que le premier utilisateur est fixé à 8dB. De plus on suppose que les vecteurs \mathbf{g}_k sont normalisés. On prend 4 séquences de Gold de longueur ($N = 7$), avec \mathbf{R} donnée par :

$$\mathbf{R} \triangleq \mathbf{S}^T \mathbf{S} = \frac{1}{7} \begin{pmatrix} 7 & -1 & 3 & 3 \\ -1 & 7 & 3 & -1 \\ 3 & 3 & 7 & -1 \\ 3 & -1 & -1 & 7 \end{pmatrix} \quad (18)$$

En premier lieu nous étudions la performance des détecteurs proposés en utilisant une décomposition propre de $\tilde{\mathbf{C}}$ (traitement par bloc). Pour cela, la matrice $\tilde{\mathbf{C}}$ est estimée en utilisant $I = 500$ symboles. De plus les directions d'arrivées sont choisies d'une manière aléatoire pour chaque bloc. D'après la Figure 4, on remarque que la probabilité d'erreur des EQMM-AIS et -AIP s'améliorent lorsqu'on injecte des décisions fiables. De plus, on remarque une discontinuité à 8dB pour l'EQMM-AIS. Celle-ci est due au ré-arrangement des utilisateurs selon leur puissance respective.

Dans la Figure 5 nous considérons la performance de l'algorithme adaptatif. Pour cela, le premier utilisateur est fixé à 8dB et les trois autres à 16dB. Les directions d'arrivées sont $\theta_1 = 0^\circ$, $\theta_2 = 6^\circ$, $\theta_3 = 10^\circ$, et $\theta_4 = -7^\circ$. Dans la Figure 5 nous traçons le rapport-signal-à-interférence-plus-bruit (RSIB) en fonction du nombre d'itérations. On constate que l'EQMM-AIS et l'EQMM-AIP ont le même RSIB pour l'utilisateur 1. Par contre, pour le 4^{ème} utilisateur, l'EQMM-AIP a un meilleur RSIB que celui d'EQMM-AIS.

Références

- [1] P. Patel and J. Holtzman, "Analysis of a Simple Successive Interference Cancellation Scheme in a DS/CDMA System," *IEEE J. Select. Areas Commun.*, vol. 12, pp. 796-807, Jun. 1994.
- [2] D. Divsalar and M. K. Simon, "Improved CDMA Performance Using Parallel Interference Cancellation," *JPL Publication 95-21*, Oct. 1995.
- [3] X. Wang and V. H. Poor, "Blind Multiuser Detection: A Subspace Approach," *IEEE Trans. on Inform. Theory*, vol.44, no. 2, pp. 677-690, Mar. 1998.
- [4] A. Chkeif, K. Abed-Meraim, and G. K. Kaleh, "Blind Adaptive Multiuser Detection with Antenna Array," *Submitted to IEEE Trans. on Commun*, 1999.
- [5] K. Abed-Meraim, A. Chkeif, and Y. Hua, "Fast Orthogonal PAST Algorithm," *Submitted to Sig. Process. Letters*, 1999, (also to appear in *Colloque GRETSI99*).
- [6] A. Chkeif et G. Kawas Kaleh, "Détection Conjointe pour le Système d'Accès Multiple à Spectre étalé, Synchrones et à Antennes Multiples," *Colloque GRETSI97*, France, Grenoble Sept. 1997.

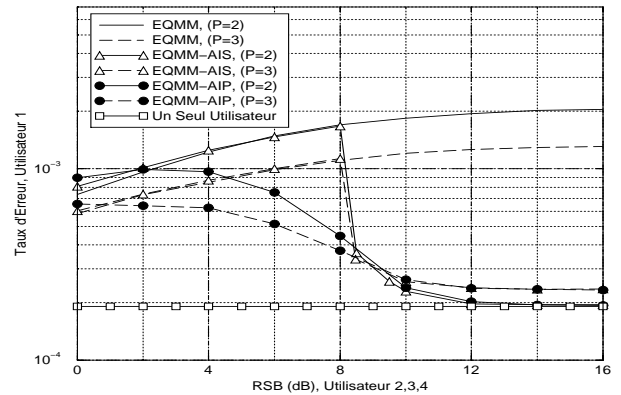


FIG. 4: Performance des détecteurs, traitement par bloc.

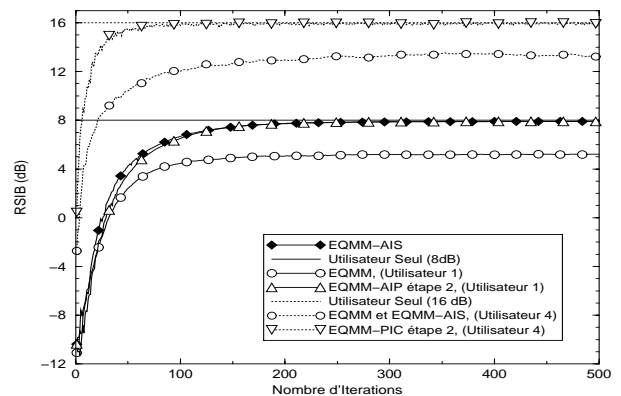


FIG. 5: Algorithmes adaptatifs, avec $P = 3$ et tous les facteurs d'oubli sont fixés à 0.99.